

12. Буйлов А. Б., Тюрлев И. Я. Определение величины разреженных зон под секционированными решетками // ЖПХ.— 1964.— Т. 37, № 8.
 13. Бейте Д. Основы механики псевдооживления с приложениями.— М.: Мир, 1986.
 г. Новосибирск

Поступила 21/X 1988 г.,
 в окончательном варианте — 27/IV 1989 г.

УДК 536.25

В. И. Елисеев, Ю. П. Совит

СВОБОДНО-КОНВЕКТИВНЫЙ ТЕПЛОБМЕН В ОТКРЫТОЙ СИСТЕМЕ ВЕРТИКАЛЬНЫХ СТЕРЖНЕЙ

Исследования свободно-конвективного теплообмена на вертикальных поверхностях представляют собой хорошо разработанный раздел теории естественно-конвективных течений. Обширный справочный и библиографический материал по данной теме можно найти в [1]. Однако проблемы разработки эффективных теплообменных аппаратов, необходимость расчета температурных режимов сложных стержневых систем, обладающих тепловыделением, выбор эффективных способов защиты от перегрева пакетов электрических кабелей определяют актуальность постановки и решения задач о гидродинамике и теплообмене различных наборов стержней. Эффективной моделью, которая позволяет отразить гидродинамическое и тепловое взаимодействие стержней между собой и всего пучка в целом с окружающей средой, является модель фильтрационного течения. В настоящий момент она широко применяется для расчетов теплообмена при вынужденной конвекции в анизотропных стержневых структурах [2—5]. При этом для определения сил теплового и гидродинамического взаимодействия твердой и жидкой фаз в единице объема пористого тела используются критериальные соотношения, получаемые на основе обработки экспериментальных данных. Вопросам математического моделирования свободно-конвективного теплообмена в таких средах уделено значительно меньше внимания. Существующие работы носят в основном экспериментальный характер [6—9]. Поэтому большой интерес представляет применение модели фильтрационного течения в пористой среде к описанию свободно-конвективных процессов в пучках стержней и проведение численных расчетов теплообмена стержневых сборок с внешней охлаждающей средой. Вместе с тем отсутствие критериальных зависимостей для объемного трения и тепловыделения при таком течении обуславливает актуальность проблемы теоретического определения искомых величин. Решение этих задач и является целью данной работы.

1. Основные уравнения и граничные условия. Рассмотрим осесимметричное свободно-конвективное течение несжимаемой жидкости в вертикальном пучке стержней. Предположим, что режим течения ламинарный, а вязкость, теплопроводность и теплоемкость не зависят от температуры. Направим ось x вдоль продольной оси пучка, тогда ось r будет лежать в плоскости, перпендикулярной оси x , а угол φ отсчитывается от некоторого начального положения плоскости xor . Выделим малый элемент пространства $\Delta V = r\Delta\varphi\Delta x\Delta r$, содержащий кроме жидкости еще и достаточно большое количество стержней (рис. 1). При наличии стержней структура пространства характеризуется величинами

$$\varepsilon = \Delta V_{ж}/\Delta V, \quad \varepsilon_x = \Delta S_{жx}/\Delta S_x, \quad \varepsilon_r = \Delta S_{жr}/\Delta S_r, \quad \varepsilon_\varphi = \Delta S_{ж\varphi}/\Delta S_\varphi,$$

где $\Delta V_{ж}$ — объем пространства, занятого жидкостью; ΔS_j — площадь стороны элемента с нормалью вдоль соответствующей оси; $\Delta S_{жj}$ — площадь проточной части соответствующей стороны элемента. Поле течения определяется вектором скорости $\mathbf{V} = iu + jv$, а также векторами массовых и объемных сил, действующих в выделенном элементе. Принимая во внимание осесимметричность движения и используя стандартную процедуру вывода уравнений сохранения для сплошной среды [10], имеем

$$(1.1) \quad \varepsilon_x \partial u / \partial x + \varepsilon_r \partial v / \partial r = G,$$

$$\varepsilon \frac{\partial u}{\partial t} + \varepsilon_x u \frac{\partial u}{\partial x} + \varepsilon_r v \frac{\partial u}{\partial r} = R_x - \frac{\varepsilon_x}{\rho} \frac{\partial p}{\partial x} + A\varepsilon + v_{\text{эф}} \left[\varepsilon_x \frac{\partial^2 u}{\partial x^2} + \frac{\varepsilon_r}{r} \frac{\partial}{\partial r} \left(r \frac{\partial u}{\partial r} \right) \right],$$

$$\varepsilon \frac{\partial v}{\partial t} + \varepsilon_x u \frac{\partial v}{\partial x} + \varepsilon_r v \frac{\partial v}{\partial r} = R_r - \frac{\varepsilon_r}{\rho} \frac{\partial p}{\partial r} + v_{\text{эф}} \left[\varepsilon_x \frac{\partial^2 v}{\partial x^2} + \varepsilon_r \left(\frac{\partial^2 v}{\partial r^2} + \frac{1}{r} \frac{\partial v}{\partial r} - \frac{v}{r^2} \right) \right],$$

$$\rho c_p \varepsilon \frac{\partial T}{\partial t} + \rho c_p \left(\varepsilon_x u \frac{\partial T}{\partial x} + \varepsilon_r v \frac{\partial T}{\partial r} \right) = Q + \lambda_{\text{эф}} \left[\varepsilon_x \frac{\partial^2 T}{\partial x^2} + \varepsilon_r \left(\frac{\partial^2 T}{\partial r^2} + \frac{1}{r} \frac{\partial T}{\partial r} \right) \right].$$

Здесь A характеризует действие объемных сил, возникающих при температурном расширении жидкости. В рамках модели Буссинеска $A = g(T - T_*)/T_*$ (T_* — некоторая характерная температура, g — ускорение свободного падения). Величины R_x , R_r , Q отражают силовое и тепловое взаимодействие стержней с жидкостью в единице объема, параметр G — выделение или поглощение массы, которое может происходить в системе вследствие химических реакций или газовой выделении на поверхностях стержней. Уравнения (1.1) описывают распределения истинных осредненных по жидкому объему параметров потока. Введение понятия фильтрационной скорости $V_1 = \varepsilon V$ позволяет распространить эти уравнения на весь рассматриваемый объем. Для полноты постановки их необходимо дополнить еще уравнением теплопереноса в твердой фазе, частными случаями которого могут быть условия изотермичности $T_c = \text{const}$ или тепловыделения $q_c = \text{const}$ на поверхностях стержней.

Полученные уравнения содержат геометрические характеристики пространства ε , ε_x , ε_r и параметры динамического взаимодействия фаз R_x , R_r . В общем случае течения в анизотропной пористой структуре $\varepsilon_x \neq \varepsilon_r$ и $R_x \neq R_r$. Однако принимая во внимание, что $\varepsilon_x = \varepsilon$ для пучка стержней постоянного радиуса, и вводя дополнительное предположение, что и $\varepsilon_r \sim \varepsilon$, можем упростить уравнения (1.1), после чего они полностью будут совпадать с уравнениями [11].

Следующая возможность упрощения исходных уравнений заключается в использовании приближений модели пограничного слоя [12]. Полагая число Рэлея для пучка значительно большим единицы и принимая, что поперечные скорости значительно меньше продольных, получим следующую систему (течение стационарное, $p = p_\infty$, $dp/dx = 0$, $T_* = T_\infty = \text{const}$):

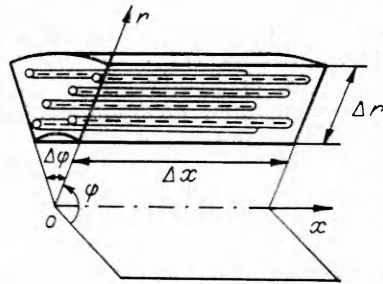
$$(1.2) \quad \varepsilon^{-1} \left(u_1 \frac{\partial u_1}{\partial x} + v_1 \frac{\partial u_1}{\partial r} \right) = f + \varepsilon g \frac{T_1 - T_\infty}{T_\infty} + v_{\text{эф}} \left(\frac{\partial^2 u_1}{\partial r^2} + \frac{1}{r} \frac{\partial u_1}{\partial r} \right),$$

$$\rho c_p \varepsilon^{-1} \left(u_1 \frac{\partial T_1}{\partial x} + v_1 \frac{\partial T_1}{\partial r} \right) = \varepsilon^{-1} q + \lambda_{\text{эф}} \left(\frac{\partial^2 T_1}{\partial r^2} + \frac{1}{r} \frac{\partial T_1}{\partial r} \right), \quad \frac{\partial (ru_1)}{\partial x} + \frac{\partial (rv_1)}{\partial r} = G.$$

Заметим, что уравнения (1.1), (1.2) вместо физической вязкости и теплопроводности жидкости содержат некоторые условные параметры $\mu_{\text{эф}}$ и $\lambda_{\text{эф}}$, при помощи которых учитываются различного рода неточности осреднения и влияния твердых поверхностей на диссипативные процессы. Однако, как показано в [13, 14], для фильтрационных потоков с большой степенью точности можно полагать, что $\mu_{\text{эф}} = \mu$. Это условие принято в настоящей работе и для $\lambda_{\text{эф}}$.

С внешней стороны к пучку примыкает область движущейся однородной жидкости. Поскольку во внутренней области течение рассматривается в рамках модели пограничного слоя, то вполне естественно и во внешней области также использовать уравнения осесимметричного пограничного слоя, которые отличаются от уравнений (1.2) тем, что $\varepsilon = 1$, $f = q = G = 0$ и вместо индекса 1 используется индекс 2.

Между двумя областями движения существует гидродинамическое и тепловое взаимодействие. Формально оно отражается при помощи равенств скоростей, температур, напряжений и тепловых по-



Р и с. 1

токов на границе вязкого и фильтрационного течения [15]

$$(1.3) \quad \begin{aligned} u_2(x, R_{\Pi}) &= \varepsilon^{-1} u_1(x, R_{\Pi}), \quad v_1(x, R_{\Pi}) = v_2(x, R_{\Pi}), \\ T_1(x, R_{\Pi}) &= T_2(x, R_{\Pi}), \\ \mu \frac{\partial u_2}{\partial r} \Big|_{r=R_{\Pi}} &= \mu_{\text{эф}} \frac{\partial u_1}{\partial r} \Big|_{r=R_{\Pi}}, \quad \lambda \frac{\partial T_2}{\partial r} \Big|_{r=R_{\Pi}} = \lambda_{\text{эф}} \frac{\partial T_1}{\partial r} \Big|_{r=R_{\Pi}}. \end{aligned}$$

Кроме этих соотношений, необходимы еще условия на оси пучка и на границах области всего течения:

$$(1.4) \quad \begin{aligned} v_1 = 0, \quad \partial u_1 / \partial r = 0, \quad \partial T_1 / \partial r = 0 \quad \text{при } r = 0, \\ u_2 \rightarrow 0, \quad T_2 \rightarrow T_{\infty} \quad \text{при } r \rightarrow \infty. \end{aligned}$$

Для замыкания поставленной задачи остается определить f и q .

2. Определение объемного сопротивления и тепловыделения в пучке стержней. Используем для этой цели модель «свободной ячейки» для двухфазных систем [16, 17]. Для случая продольно обтекаемого цилиндра, входящего в состав сборки стержней, ячейка представляет собой область между двумя коаксиальными цилиндрами. Внутренний цилиндр является обтекаемым цилиндрическим телом с радиусом R_c , а внешний — жидкая оболочка радиуса R_{Δ} . Радиус внешнего цилиндра R_{Δ} принимается таким, чтобы отношение объема жидкости в межстержневом пространстве к полному объему пучка был равен пористости, т. е. $\varepsilon = 1 - (R_c/R_{\Delta})^2$. В принятой модели решение уравнений, описывающих стабилизированное движение жидкости и теплообмен стержня, проводится с использованием условий симметрии на внешней границе ячейки. Поэтому стержни в пучке изолированные и между собой не взаимодействуют.

Такой подход не позволяет отразить влияние граничных условий всего процесса на распределения основных параметров по толщине пучка. В связи с этим модифицируем рассмотренную модель таким образом, чтобы снять это ограничение.

Будем полагать, что течение в межстержневом пространстве свободно-конвективное, осесимметричное и в приближениях моделей пограничного слоя и Буссинеска описывается уравнениями

$$(2.1) \quad \begin{aligned} u \frac{\partial u}{\partial x} + v \frac{\partial u}{\partial r} &= g \left(\frac{T}{T_{\infty}} - 1 \right) + \frac{v}{r} \frac{\partial}{\partial r} \left(r \frac{\partial u}{\partial r} \right), \\ \rho c_p \left(u \frac{\partial T}{\partial x} + v \frac{\partial T}{\partial r} \right) - \frac{\lambda}{r} \frac{\partial}{\partial r} \left(r \frac{\partial T}{\partial r} \right) &= 0 \end{aligned}$$

с граничными условиями

$$(2.2) \quad \begin{aligned} u = u_{\Delta}, \quad T = T_{\Delta} \quad \text{при } r = R_{\Delta}, \quad u = 0, \quad T = T_c \quad \text{или} \\ -\lambda \partial T / \partial r = q_c \quad \text{при } r = R_c \end{aligned}$$

(U_{Δ} , T_{Δ} — некоторые условные величины, которые должны быть определены через фильтрационные параметры потока). В таком представлении ячейки, составляющие пучок, уже не являются изолированными и посредством функциональных зависимостей $U_{\Delta} = F_u(u_1, T_1)$, $T_{\Delta} = F_T(u_1, T_1)$ связываются с параметрами пучка и внешнего пограничного слоя. Для решения уравнений (2.1) применим метод последовательных приближений [18], согласно которому решение представляется в виде $u = u_0(x, r) + u_1(x, r) + \dots$, где функция u_0 удовлетворяет упрощенному уравнению, которое можно получить из (2.1), опустив конвективные составляющие, т. е.

$$(2.3) \quad \frac{v}{r} \frac{\partial}{\partial r} \left(r \frac{\partial u_0}{\partial r} \right) + g \left(\frac{T_0}{T_{\infty}} - 1 \right) = 0, \quad \frac{\lambda}{r} \frac{\partial}{\partial r} \left(r \frac{\partial T_0}{\partial r} \right) = 0$$

(в дальнейшем индекс 0 отбросим, поскольку будем использовать только нулевое приближение).

В качестве граничных условий для (2.3) возьмем (2.2). Постановка этой задачи и некоторые результаты расчетов для пучка изотермических стержней приведены в [19].

Решением системы уравнений (2.3) с граничными условиями $q_c = \text{const}$ являются выражения

$$(2.4) \quad T = T_\Delta + T_q(\ln R_\Delta/R_c - \ln r/R_c),$$

$$u = U_\Delta \frac{\ln r/R_c}{\ln R_\Delta/R_c} + \frac{1}{4} \text{Gr}^* \left(\frac{\nu}{R_\Pi} \right) \frac{1}{R_\Pi^2} \left[(r^2 - R_\Delta^2) \ln r/R_c + \right. \\ \left. + \left(\ln R_\Delta/R_c + 1 + \frac{T_\Delta - T_q}{T_q} \right) (R_\Delta^2 \varepsilon + R_c^2 - r^2) \right]$$

(T_q — характерная температура стержня, $T_q = q_c R_c / \lambda$, Gr^* — модифицированное число Грасгофа, $\text{Gr}^* = g R_\Pi^3 T_q / (\nu^2 T_\infty)$). Имея распределения u и T в ячейке, можно определить трение и тепловой поток на стержне и связать их с искомыми f и q :

$$(2.5) \quad f = \frac{2\pi R_c}{\pi R_\Delta^2} \mu \left. \frac{\partial u}{\partial r} \right|_{r=R_c}, \quad q = \frac{2\pi R_c}{\pi R_\Delta^2} \lambda \left. \frac{\partial T}{\partial r} \right|_{r=R_c}.$$

Используя в (2.5) выражения (2.4), получим

$$(2.6) \quad f = \frac{2\nu U_\Delta}{R_\Delta^2 \ln R_\Delta/R_c} + g \frac{T_q}{T_\infty} \left[(\varepsilon - 1 + a_\varepsilon) \left(\ln R_\Delta/R_c + \right. \right. \\ \left. \left. + \frac{T_\Delta - T_\infty}{T_q} \right) + a_\varepsilon - 1 + \varepsilon/2 \right],$$

$$q = 2\lambda T_q / R_\Delta^2 (a_\varepsilon = \varepsilon / (2 \ln R_\Delta/R_c)).$$

Примем теперь следующее предположение. Считаем, что фильтрационная скорость равна среднерасходной скорости в рассматриваемой ячейке, а фильтрационная температура — средней калориметрической величине потока, проходящего в межстержневом пространстве:

$$(2.7) \quad u_1 = 2\pi \int_{R_c}^{R_\Delta} u r dr / (\pi R_\Delta^2), \quad T_1 = 2\pi \int_{R_c}^{R_\Delta} u T r dr / (\pi R_\Delta^2 u_1).$$

После подстановки (2.4) в (2.7) и соответствующих преобразований находим связь между U_Δ , T_Δ и u_1 , T_1 :

$$(2.8) \quad U_\Delta = A U_q + B U_q (T_\Delta/T_q), \quad T_\Delta = (u_1 T_1 - U_q T_q) / A_\Delta,$$

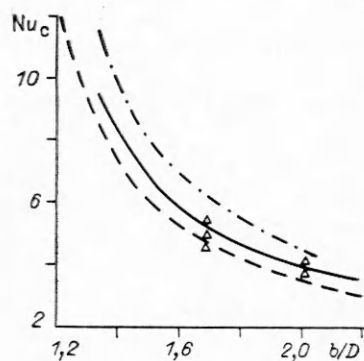
$$\text{где} \quad A U_q = \frac{u_1 + \text{Gr}^* (\nu/R_\Pi) [(\ln R_\Delta/R_c - T_\infty/T_q + 1) b_1 + b_2]}{1 - a_\varepsilon},$$

$$B U_q = \text{Gr}^* (\nu/R_\Pi) \frac{b_1}{1 - a_\varepsilon}; \quad A_\Delta = u_1 - \text{Gr}^* (\nu/R_\Pi) \left[\frac{b_1 b_3}{1 - a_\varepsilon} + \left(\frac{R_\Delta}{R_\Pi} \right)^2 \frac{\ln R_\Delta/R_c}{8} b_4 \right];$$

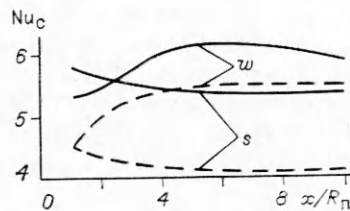
$$U_q = u_1 \ln R_\Delta/R_c - A U_q b_3 - \text{Gr}^* (\nu/R_\Pi) (R_\Delta/R_\Pi)^2 (\ln R_\Delta/R_c) / 8 \times \\ \times [b_5 + (1 + \ln R_\Delta/R_c - T_\infty/T_q) b_4].$$

Набор констант b_1, \dots, b_5 определяется только геометрией пучка: $b_1 = (R_\Delta/R_\Pi)^2 \varepsilon (a_\varepsilon + \varepsilon/2 - 1) / 4$, $b_2 = (R_\Delta/R_\Pi)^2 \ln R_\Delta/R_c (1 - a_\varepsilon - \varepsilon a_\varepsilon / 2) / 8$, $b_3 = \ln R_\Delta/R_c - 1 + a_\varepsilon$, $b_4 = 4 a_\varepsilon b_3 + (1,5\varepsilon - 1) a_\varepsilon - 2\varepsilon + 1$, $b_5 = 1,5(1 - a_\varepsilon) - \ln R_\Delta/R_c - \varepsilon a_\varepsilon / 4$.

В результате сформулирована сопряженная задача свободно-конвективного теплообмена открытого пучка вертикальных стержней, состоящая из уравнений фильтрационного течения в пучке (1.2), уравнений внешнего пограничного слоя ($f = q = 0$, $\varepsilon = 1$), граничных условий (1.4). Дополнительные зависимости для трения и объемного тепловыделения в пучке тепловыделяющих стержней даны соотношениями (2.6), (2.8).



Р и с. 2



Р и с. 3

3. Результаты расчетов, сравнение с экспериментом. Для решения сформулированной задачи применен численный метод, описанный в [20].

Одной из немногих работ, содержащих изложение теоретических и экспериментальных результатов исследований теплообмена пучка тепловыделяющих стержней, является [8]. Математическое описание процесса в ней проведено с использованием ячеечной модели с граничными условиями типа свободная поверхность, что исключает влияние внешней среды на теплообмен в пучке. Для осесимметричного пучка, взаимодействующего с внешней средой, наиболее близкими к этим условиям, естественно, будут условия в центре. Поэтому для сравнения результатов выбираем параметры стержня, находящегося в центре пучка. Треугольная схема укладки в [8], состоящая из 42 стержней радиуса 0,0079 м, определяла зависимость между пористостью и относительным шагом

$$(3.1) \quad \varepsilon = 1 - \pi/(2\sqrt{3})(D/b)^2$$

(b — расстояние между центрами, D — диаметр стержня; $R_n = R_c(\sqrt{2\sqrt{3}N}/\sqrt{\pi})(b/D)$ (N — количество стержней в пучке)).

Теплофизические параметры среды соответствовали параметрам воздуха $\rho = 1,21$ кг/м³, $c_p = 1005$ Дж/(кг·К), $\nu = 0,15 \cdot 10^{-4}$ м²/с, $Pr = 0,7$, $T_\infty = 20$ °С. В расчетах варьировались $b/D = 1,4 \div 2,2$ и $q_c = 125 \div 500$ Вт/м², это отвечает диапазону изменений определяющих параметров [8].

Значение локального числа Нуссельта для стержня в ячейке с использованием (2.4)

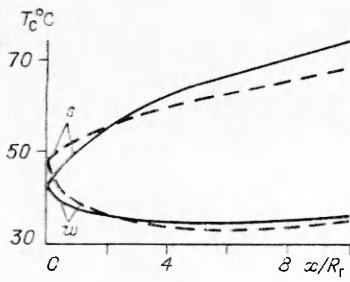
$$Nu_c = \frac{\alpha D}{\lambda} = \frac{2}{T_c - T_1} - \frac{2}{T_\Delta + \ln R_\Delta/R_c - T_1}$$

(α — коэффициент теплоотдачи, T_c — температура поверхности стержня).

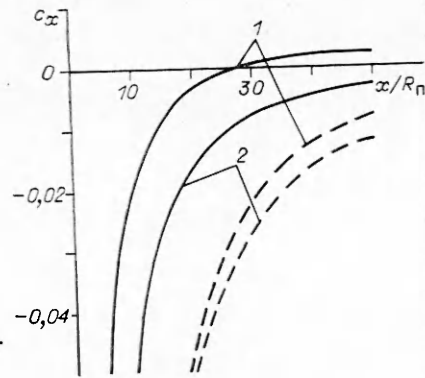
На рис. 2 представлено сравнение полученных по предлагаемой методике значений Nu_c в центре пучка (сплошная линия) с теоретическими (штрихпунктирная) и экспериментальными (треугольники) результатами [8]. Следует отметить хорошее совпадение найденных распределений с имеющимися экспериментальными данными для $b/D = 1,68$; 2,03, что позволяет сделать вывод об адекватности предложенной модели теплообмена и методики расчета.

Как показывают расчеты, влияние внешней среды сказывается в небольшой по толщине зоне у поверхности пучка. Повышение интенсивности теплообмена здесь обусловлено формированием участка эжекции внешнего холодного газа вследствие развития течения в объеме пучка. Это приводит к увеличению Nu_c и снижению температуры стержней на поверхности по сравнению с центром.

На рис. 3 представлены распределения Nu_c на поверхности (w) и в центре (s) пучков с тепловым потоком $q_c = 125$ Вт/м² на каждом стержне. Относительный шаг $b/D = 1,68$ (сплошные кривые), 2,03 (штриховые).



Р и с. 4



Р и с. 5

На рис. 4 изображены распределения температур стержней T_c для рассматриваемых вариантов (условные обозначения совпадают с обозначениями на рис. 3). Дальнейшее увеличение q_c (или Gr^*) приводит к существенному усилению эжекции. При этом поперечные скорости течения во внешнем пограничном слое и на поверхности пучка могут достигать соизмеримых с продольными скоростями значений. На таких режимах применение модели пограничного слоя для фильтрационного течения в объеме пучка стержней становится необоснованным. Тогда необходимо переходить к решению задачи в полной постановке с учетом динамического и теплового взаимодействия фаз при поперечном обтекании стержней.

В данной работе рассматривалось также свободно-конвективное течение в пучке изотермических стержней. Как следует из [19], в этом случае

$$(3.2) \quad Nu_c = \frac{2}{T_c - T_1} \frac{T_c - T_\Delta}{\ln R_\Delta / R_c},$$

а эквивалент модифицированного числа Грасгофа Gr^* $Gr = gR_\Pi^3 (T_c - T_\infty) / (\nu^2 T_\infty)$. Как показали расчеты, распределения $Nu_c(x)$ для пучков тепловыделяющих и изотермических стержней с одинаковыми геометрическими характеристиками практически совпадают между собой, если выполняется условие $Gr = Gr^*$. Изменение мощности тепловыделения или начальной температуры, что тождественно изменению чисел Gr^* или Gr , практически не сказывается на теплообмене стержней в центральной части пучка. Это подтверждает вывод в [8] о том, что на интенсивность теплообмена стержней определяющее влияние оказывает плотность их укладки. Проведем анализ этого факта на примере изотермического пучка.

Рассмотрим теплообмен стержня в ячейке для предельного случая, когда в центральной области пучка наступает тепловая стабилизация. Примем следующее условие стабилизации: $T_c - T_1 \leq 10^{-2} T_c$. Для этого течения Nu_c вычисляется по (3.2), а уравнение, определяющее T_Δ , приведено в [19]. Решение уравнения запишется как

$$(3.3) \quad T_\Delta - T_c = (-BT + BT\sqrt{1-\beta}) / (2AT),$$

$$\text{где} \quad AT = (\nu/R_\Pi) \frac{Gr}{(T_c - T_\infty) \ln R_\Delta / R_c} \left[c_3 + c_5 + \frac{c_4(c_1 + c_2)}{1 - a_\varepsilon} \right];$$

$$BT = AUc_4 - (\nu/R_\Pi) Gr c_5; \quad AU = \frac{u_1 - (\nu/R_\Pi) Gr c_1}{1 - a_\varepsilon};$$

$$c_1 = -b_1; \quad c_2 = -b_2; \quad c_3 = (R_\Delta/R_\Pi)^2 [\ln R_\Delta / R_\Pi + 1,5(a_\varepsilon - 1) + \varepsilon a_\varepsilon / 4] / 8;$$

$$\beta = 4ATu_1(T_c - T_1) / BT^2; \quad c_4 = [\ln R_\Delta / R_c - 1 + a_\varepsilon] / \ln R_\Delta / R_c;$$

$$c_5 = (R_\Delta/R_\Pi)^2 [(1 - a_\varepsilon)(2\varepsilon - 1) + \varepsilon a_\varepsilon / 2 - 2\varepsilon c_4] / 8.$$

При принятом условии тепловой стабилизации $\beta \sim 10^{-2}$. Поэтому, проводя линеаризацию (3.3) по β и соответствующие преобразования, имеем

$$(3.4) \quad T_{\Delta} - T_c = - \frac{u_1 (T_c - T_1)}{u_1 c_4 / (1 - a_\varepsilon) + (v/R_n) Gr c_0}.$$

Тогда с учетом (3.4)

$$(3.5) \quad Nu_c = \frac{1}{\ln R_{\Delta}/R_c} \frac{2}{c_4 / (1 - a_\varepsilon) + (v/R_n) Gr c_0 / u_1}$$

($c_0 = b_1 c_1 / (1 - a_\varepsilon) - c_5$, $u_1 / (v/R_n)$ — безразмерная скорость фильтрационного течения в пучке).

Как видно, второе слагаемое в знаменателе соотношения (3.5) учитывает вклад динамических параметров течения в теплообмен стержня. Анализ показывает, что константа c_0 зависит только от b/D или ε и при изменении b/D от 1,2 до 2,2 меняется в пределах $(-0,0018 \div -0,0032)(R_{\Delta}/R_n)^2$. Если принять, что пучок состоит, например, из 100 стержней, то для $Gr \leq 10^5$ второе слагаемое эквивалентно $B(v/R_n)/u_1$, где $B \sim 1$.

Таким образом, влияние динамических параметров потока на Nu_c в ячейке убывает пропорционально $1/u_1$, т. е. в процессе развития течения происходит трансформация потока от свободно-конвективного к вынужденному, который соответствует обтеканию и теплообмену стержня в канале с осевыми параметрами U_{Δ} , T_{Δ} . Опустив динамическую составляющую в (3.5), предельное нижнее значение Nu_c^* запишем в форме

$$(3.6) \quad Nu_c^* = \frac{-2 [\ln(1 - \varepsilon) + \varepsilon]}{\ln(1 - \varepsilon) [0,5 \ln(1 - \varepsilon) + 1] + \varepsilon}$$

(пористость ε вычисляется по (3.1)). Найденное распределение $Nu_c^*(\varepsilon)$ представлено на рис. 2 штриховой линией. Максимальное отклонение значений Nu_c^* от численных результатов, полученных по описанной выше методике, не превышает 11 %. Это позволяет рекомендовать приближенную зависимость (3.6) в качестве нижней оценки интенсивности теплообмена при развитой свободной конвекции в пучке стержней.

В [19] обращено внимание на существование двух характерных форм свободно-конвективного течения во внешнем пограничном слое на пучке изотермических стержней. Первая реализуется на участке от начала формирования фильтрационного течения до наступления теплового равновесия между газом и стержнями в пучке. При этом течение во внешней области аналогично вынужденному течению с отсосом на ускоряющемся цилиндре радиуса R_n . Для данного течения $c_x < 0$ ($c_x = 1/(\rho u_0^2) \times \mu (\partial u / \partial r)|_{r=R_c}$, u_0 — начальная скорость в пучке). После достижения теплового равновесия в пучке во внешнем потоке развивается вторая форма течения. Профиль скорости в пограничном слое приобретает характерный для свободно-конвективного течения вид с $c_x > 0$. Условие $c_x = 0$ служит критерием перехода одной формы течения в другую.

На рис. 5 представлены распределения $c_x(x)$ для пучков изотермических стержней (сплошные линии). Полагалось, что пучок радиусом 0,02 м состоит из набора стержней радиусом 0,00025 м, нагретых до температуры $T_c = 200$ °С. Температура внешней среды $T_{\infty} = 20$ °С. число Прандтля $Pr = 0,7$. Кривые 1 соответствуют пучку из 100 стержней ($N = 100$), для кривых 2 $N = 50$. Можно видеть, что увеличение плотности укладки пучка приводит к уменьшению участка с первой формой течения. Здесь же даны распределения c_x для пучков тепловыделяющих стержней (штриховые линии). При этом выполнялось условие $Gr = Gr^*$. Для рассмотренных вариантов теплообмена $c_x < 0$ во всем расчетном интервале, т. е. вторая форма течения в пограничном слое на таком пучке не развивается, что можно объяснить отсутствием предельного значения температуры стержней для неограниченного по длине пучка с тепловыделением.

ЛИТЕРАТУРА

1. Мартыненко О. Г., Соковишин Ю. А. Свободно-конвективный теплообмен: Справ. — Минск: Наука и техника, 1982.
2. Колмаков А. П., Юрьев Ю. С. Применение метода пористого тела для расчета поля скоростей и температур в активной зоне. — Обнинск, 1971. — (Препр./ФЭИ; № 249).
3. Боришанский В. М., Готовский М. А., Мизонов Н. В., Фирсова Э. В. Метод гомотенного потока и его применение для расчета гидродинамики и теплопередачи в пучках стержней // Теплообмен и гидродинамика однофазного потока в пучках стержней. — Л.: Энергия, 1979.
4. Субботин В. И., Ибрагимов М. Х., Ушаков П. А. и др. Гидродинамика и теплообмен в атомных энергетических установках. — М.: Атомиздат, 1975.
5. Субботин В. И., Кащеев В. М., Номофилов Ю. С., Юрьев Ю. С. Решение задач реакторной теплофизики на ЭВМ. — М.: Атомиздат, 1979.
6. Вдовец П. В., Гривнин А. П., Готовский М. А. и др. Теплообмен при естественной конвекции в горизонтально расположенных пучках тепловыделяющих стержней // Теплофизика высоких температур. — 1986. — Т. 24, № 4.
7. Кейхани, Куляцкий, Христensen. Экспериментальное исследование свободной конвекции в вертикальной сборке стержней (общая корреляция для числа Нуссельта) // Тр. Амер. о-ва инженеров-механиков. Теплопередача. — 1985. — Т. 107, № 3.
8. Davis L. P., Perona J. J. Development of free convection axial flow through a tube bundle // Intern. J. Heat Mass Transfer. — 1973. — V. 16, N 7.
9. Okada T., Efthimiadis A., Iannello V., Todreas N. Mixed convection pressure drop in vertical ROD bundles // Proc. 3rd Intern. Topical Meeting on React. Thermal Hydraulic, New Port, 1985. — V. 2, sess. 13—21.
10. Шлихтинг Г. Теория пограничного слоя. — М.: Наука, 1969.
11. Китаев Б. И., Ярошенко Ю. Г., Суханов Е. Л. и др. Теплотехника доменного процесса. — М.: Металлургия, 1978.
12. Weber J. E. The boundary layer regime for convection in a vertical porous layer // Intern. J. Heat Mass Transfer. — 1975. — V. 18, N 4.
13. Lundgren T. S. Slow flow through stationary random beds and suspension of spheres // J. Fluid Mech. — 1972. — V. 51, pt 2.
14. Somerton C. W., Catton J. On the thermal instability of superposed porous and fluid layers // Trans. ASME: J. Heat Transfer. — 1982. — V. 104, N 1.
15. Бекерман, Рамадьяни, Висканта. Свободно-конвективное течение и теплообмен между жидким и пористым слоями внутри прямоугольной полости // Тр. Амер. о-ва инженеров-механиков. Теплопередача. — 1988. — № 1.
16. Хапфель Д., Бреннер Г. Гидродинамика при малых числах Рейнольдса. — М.: Мир, 1976.
17. Drummond J. E., Tahir M. I. Laminar viscous flow through regular arrays of parallel solid cylinders // Intern. J. Multiphase Flow. — 1984. — V. 10, N 5.
18. Лойцянский Л. Г. Ламинарный пограничный слой. — М.: Физматгиз, 1962.
19. Мартыненко О. Г., Галич Н. Е., Соковишин Ю. А. и др. Свободная конвекция от объемных и локализованных источников тепла. — Минск, 1988. — (Препр./АН БССР, Ин-т тепло- и массообмена; № 4).
20. Пасконов В. М., Полежаев В. И., Чудов Л. А. Численное моделирование процессов тепло- и массообмена. — М.: Наука, 1984.

• Днепропетровск

Поступила 14/IV 1989 г.

УДК 539.3

Э. И. Григолюк, Е. А. Лопаницын

ОБ ОДНОЙ МОДИФИКАЦИИ МЕТОДА ДИСКРЕТНОГО ПРОДОЛЖЕНИЯ ПО ПАРАМЕТРУ

Рассмотрим систему нелинейных уравнений

$$(1) \quad F_i(x_1, x_2, \dots, x_n, p) = 0 \quad (i = \overline{1, n}),$$

где x_i ($i = \overline{1, n}$) — аргументы и p — параметр решения. К подобным системам сводятся многие нелинейные задачи механики. Простейшая из них — задача об осесимметричном выпучивании изотропной круговой пластины, нагруженной равномерно распределенными по контуру ра-